

УДК 532.516

**О НЕЕДИНСТВЕННОСТИ НЕЛИНЕЙНЫХ ВОЛНОВЫХ РЕШЕНИЙ
В ВЯЗКОМ СЛОЕ**

Бунов А. В., Демёхин Е. А., Шкадов В. Я.

Рассматриваются решения типа стационарных бегущих волн в стекающихся слоях вязкой жидкости. Изучается однопараметрическое семейство волн [1], мягко ответвляющееся на верхней ветви кривой нейтральной устойчивости от плоскопараллельного течения и переходящее при стремлении к нулю волнового числа в отрицательный солитон (фазовая скорость $c < 3$). Показано, что это семейство не является единственным: от него с половинным периодом ответвляется при малых значениях параметра

δ , характеризующего расход, второе и третье семейства волн. Найдено критическое значение $\delta = \delta_*$, при котором точки бифуркации второго и третьего семейства сливаются, а при $\delta > \delta_*$ — уходят в комплексную плоскость; аналитически получена зависимость от δ волнового числа, при котором происходит бифуркация. Изучаются свойства второго семейства типа периодических волн и положительных солитонов, для которых $c > 3$. Решения строятся численно: периодические решения продолжаются по параметру от точек бифуркации или от известных решений с использованием метода инвариантного погружения; солитонные решения строятся сращиванием линейных асимптотик при стремлении значений продольной координаты к бесконечности.

1. Установившиеся волновые движения вязкой жидкости в плоском слое на вертикальной поверхности в длинноволновом приближении описываются уравнением [2, 3]

$$(1.1) \quad h^3 h''' + \delta [6(q - c)^2 - c^2 h^2] h' + [h^3 - q - c(h - 1)] = 0$$

$$\delta = 3^{-7/8} 5^{-1/4} R^{11/8}, \quad \gamma = 5\sigma^{-1} v^{-4/3} g^{-1/8}$$

Здесь $h(x)$ — толщина слоя, q — средний расход, c — фазовая скорость, относенная к среднерасходной скорости ламинарного безволнового течения, σ — коэффициент поверхностного натяжения, R — число Рейнольдса, вычисляемое по среднерасходной скорости и толщине слоя, соответствующими безволновому течению, x — продольная координата.

Условия для периодических волн

$$(1.2) \quad h(0) = h\left(\frac{2\pi}{\alpha}\right), \quad h'(0) = h'\left(\frac{2\pi}{\alpha}\right), \quad h''(0) =$$

$$= h''\left(\frac{2\pi}{\alpha}\right), \quad \frac{\alpha}{2\pi} \int_0^{2\pi/\alpha} h dx = 1$$

и для уединенных волн (солитонов)

$$(1.3) \quad h \rightarrow 1, \quad h^{(n)} \rightarrow 0 \text{ при } x \rightarrow \pm\infty$$

Плоскопараллельному безволновому течению соответствует тривиальное решение $h(x) \equiv 1$, $q = 1$. Как показано в [2], от тривиального решения в точке $\alpha_0 = \sqrt{15\delta}$ мягко ответствует автоколебательное волновое решение. Основные свойства этих решений исследованы в [2, 4].

Вводя малый параметр ε , в полуокрестности $\alpha \leq \alpha_0$ получаем разложение

$$(1.4) \quad s = \alpha/\alpha_0 = 1 - \varepsilon^2, \quad c = 3 - 12,3\varepsilon^2\beta^2, \quad q = 1 + 6\varepsilon^2\beta^2$$

$$\beta^2 = \frac{2}{3} \alpha_0^6 (1 + 4,14\alpha_0^6)^{-1}, \quad h =$$

$$= 1 + 2\varepsilon\beta \sin x - \frac{\varepsilon^2\beta^2}{\alpha_0^3} \sin 2x + \frac{7}{5} \varepsilon^2\beta^2 \cos 2x$$

При $\varepsilon \rightarrow 0$ разложение (1.4) стремится к точному решению. Формулы (1.4) можно получить также из решения [2] разложением по амплитуде ε .

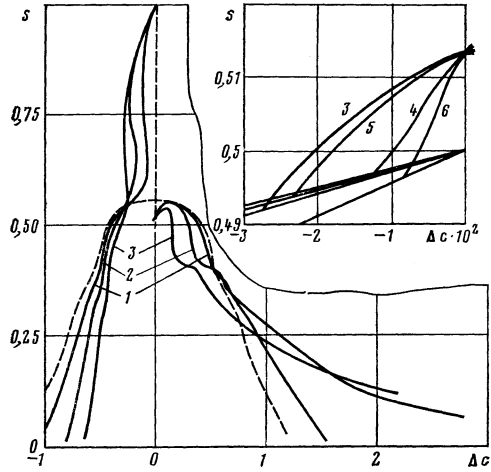
Для продолжения решения (1.4) по параметру $s = \alpha/\alpha_0$ воспользуемся методом инвариантного погружения [5]. Введем сжатие независимой переменной $x \rightarrow \alpha x$, так, что $x \in [0, 2\pi]$. Периодическое решение ищется в виде

$$(1.5) \quad h = \sum_{k=-N}^N h_k e^{ikx}, \quad h_{-k} = \bar{h}_k, \quad h_0 = 1, \quad \operatorname{Im} \{h_1\} = 0$$

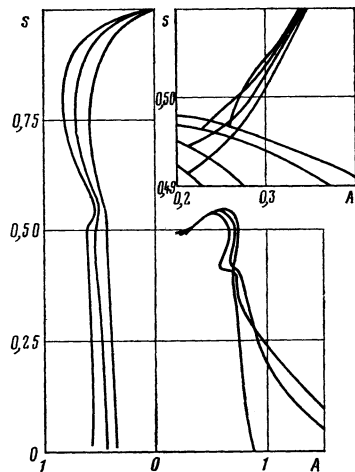
Подставляя (1.5) в (1.1) и собирая члены при одинаковых гармониках, получаем нелинейную систему из $2N + 1$ уравнений относительно $2N + 1$ неизвестных q , c , h_k ($k = 1, 2, \dots, N$). Величины α и δ считаются заданными. Число гармоник определялось условием $N = 4 \operatorname{antier} (\alpha/\alpha_0)$ при этом в большинстве случаев $|h_N/h_1| < 10^{-3}$.

Дополним систему заданием кривой $\alpha = \alpha(\lambda)$, $\delta = \delta(\lambda)$ в пространстве параметров, где λ — некоторый параметр. Продифференцировав нелинейную систему по λ , получим систему $2N + 1$ обыкновенных дифференциальных уравнений. Если задано решение в некоторой точке кривой, то численным интегрированием его можно продолжить на всю кривую $\alpha = \alpha(\lambda)$, $\delta = \delta(\lambda)$ вплоть до особой точки, например точки бифуркации. Заметим, что в ряде случаев деформацией кривой удается снять вырождение системы и обойти особую точку. Указанный метод позволил находить решение в областях с резкими изменениями искомых функций от параметров задачи.

Этим методом с начальными данными (1.4) было подробно изучено первое семейство волновых решений в области $s \in (s_0, 1)$, $\delta \in (0, 1)$. При $\delta > 1$ решение фактически не отличается от асимптотического при $\delta \rightarrow \infty$. Периодическое решение удается довести до $s \approx 0,1$; периодическая волна мало отличается при этом значении s от уединенной. При $s = 0$ семейство дополнялось отрицательным солитоном. Так как фазовая скорость солитона, относящегося к первому семейству, $c < 3$, то условимся называть его отрицательным в отличие от положительного солитона, для которого $c > 3$.



Фиг. 1



Фиг. 2

Для нахождения солитонного решения воспользуемся методом [4]. Так как $h_1 = h - 1 \rightarrow 0$ при $x \rightarrow \pm \infty$, то (1.1) после линеаризации переходит в уравнение

$$(1.6) \quad h''' + \delta \omega h'_1 + (3 - c) h_1 = 0, \quad \omega = 5c^2 - 12c + 6$$

имеющее три линейно-независимых решения. Из анализа характеристического полинома (1.6) можно показать, что при $\delta < 2,38$ один из фронтов солитона, соответствующий двум комплексно-сопряженным корням полинома, осциллирует: при $c > 3$ — передний, при $c < 3$ — задний.

Пусть при фиксированном δ известно приближенное значение $c < 3$. Корни характеристического полинома $\sigma_1 = 2m < 0$, $\sigma_{2,3} = -m \pm i\beta$. В силу затухания решения при $x \rightarrow +\infty$ в качестве начальных условий можно взять $h = 1 + \varepsilon$, $h' = 2\varepsilon m$, $h'' = 4\varepsilon m^2$, $\varepsilon = 0,01$. Интегрируя уравнение (1.1) от этих начальных условий в сторону меньших x , доходим до области, где справедлива асимптотика $x \rightarrow -\infty$ (с близко к собственному значению), и следовательно, решение имеет вид

$$h \approx 1 + Ae^{2mx} + Be^{-mx} \sin(\beta x + \psi).$$

(A, B, ψ можно выразить через h , h' , h''). Если c — собственное значение, то растущее при $x \rightarrow -\infty$ решение подавляется, т. е. A (c) обращается в нуль. Можно показать, что для обращения A в нуль необходимо, чтобы $(m^2 + \beta^2)(h - 1) + 2mh' + h'' = 0$. В процессе расчетов подбираем c так, чтобы выполнялось это условие.

Для положительного солитона $c > 3$ поступаем аналогичным образом, но численное интегрирование (1.1) ведем в сторону больших x . При $c = 3$ уединенная волна не существует: интегрированием (1.1) по x при $c = 3$ получаем соотношение

$$\int_{-\infty}^{\infty} (h - 1)^2(h + 2) h^{-3} dx = 0$$

которое удовлетворяется только при $h(x) = 1$.

Для представления результатов конкретных расчетов при малых δ введем независимые переменные Δc , Q , $H(X)$:

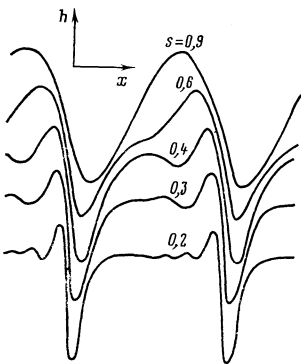
$$c = 3 + \alpha_0^3 \Delta c, \quad q = 1 + \alpha_0^6 Q, \quad h = 1 + \alpha_0^3 H, \quad \frac{d}{dx} = \alpha_0 \frac{d}{dX}$$

Большие буквы относятся к растянутым переменным, малые — к нерастянутым. Тогда при $\delta \rightarrow 0$ (1.1) в растянутых переменных переходит в модельное уравнение [6, 7]

$$(1.7) \quad H''' + H' - \Delta cH + 3H^2 = Q$$

На фиг. 1, 2 (слева) показаны для первого семейства зависимости Δc , $A = H_+ - H_-$ от s и δ . Цифры у кривых соответствуют значениям $\delta \cdot 10^2$. Штриховые линии отвечают значению $\delta = 0$.

С увеличением δ характеристики волн мало различаются для разных δ . Лишь в длинноволновой части сохраняется определенное различие фазовых скоростей, рас-



Фиг. 3

ходов и амплитуд, которое также уменьшается с ростом δ . Решение для $\delta = 1$ при $s > 0,25$ хорошо согласуется с асимптотикой $\delta = \infty$.

При малых δ , как видно из фиг. 1, 2, имеются два максимума амплитуды: один большой, в области оптимальных режимов $s \approx 0,8$ [2]; другой меньший, при $s \approx 0,4$. При увеличении δ малый максимум исчезает, большой же начинает смещаться в сторону $s = 0$.

На фиг. 3 показана эволюция формы первого семейства при $\delta = 0,04$ с уменьшением s . При $\delta \rightarrow \infty$ форма волны становится симметричной, пропадают характерные для малых s осцилляции за впадиной. При малых s установлению симметричной формы соответствуют большие δ .

Ниже даны параметры отрицательных солитонов: фазовая скорость c и амплитуда $a = h_+ - h_-$ (индексы плюс и минус означают наибольшее и наименьшее значения величин)

δ	0,01	0,03	0,06	0,1	0,2	0,4	1,0
c	2,93	2,73	2,47	2,22	1,91	1,65	1,45
a	0,036	0,149	0,285	0,446	0,649	0,847	0,971

Эти результаты согласуются по значениям фазовой скорости с результатами [4].

2. Из точек $s = 1/2, 1/3, \dots, 1/n, \dots$ от тривиального решения отвечаются автоколебательные решения первого семейства с периодами соответственно $\pi, 2\pi/3, \dots, 2\pi/n, \dots$. В частности, из $s = 1/2$ выходит решение, получаемое из (1.4) заменой $x \rightarrow 2x$

$$(2.1) \quad s = \frac{1}{2} (1 - \varepsilon^2), \quad h = 1 + 2\varepsilon\beta \sin 2x - \frac{\varepsilon^2\beta^2}{\alpha_0^3} \sin 4x + \frac{7}{5} \varepsilon^2\beta^2 \cos 4x$$

Рассмотрим π -периодическое решение (2.1) как выродившееся 2π -периодическое решение с равными нулю нечетными гармониками. При этом от выродившегося решения в принципе может ответвиться автоколебательное решение с неравными нулю нечетными гармониками. Наложим на решение первого семейства возмущение $h \rightarrow h + \mu f$, $q \rightarrow q + \mu U$, $c \rightarrow c + \mu \delta c$. После подстановки в (1.1) и перехода к пределу получим уравнение

$$\begin{aligned} Af''' + Bf' + Df + Ru + G\delta c &= 0 \\ A &= \alpha^3 h^3, \quad B = \alpha\delta [6(q - c)^2 + c^2 h^2] \\ D &= 3\alpha^3 h^2 h''' - 2\alpha\delta c^2 h h' + 3h^2 - c \\ R &= 12\alpha\delta (q - c)h' - 1 \\ G &= -2\alpha\delta h' [6(q - c) + c^2 h^2] + 1 - h \end{aligned}$$

Условием бифуркации служит существование 2π -периодических нетривиальных решений следующей линейной задачи с π -периодическими коэффициентами:

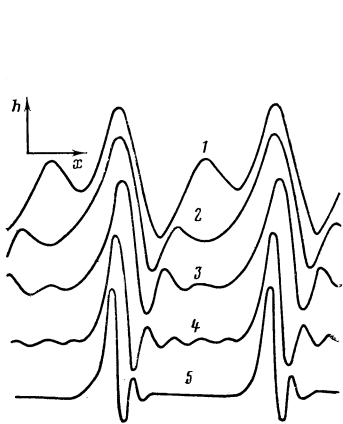
$$(2.2) \quad Af''' + Bf' + Df = 0$$

$$f(0) = f(2\pi), \quad f'(0) = f'(2\pi), \quad f''(0) = f''(2\pi)$$

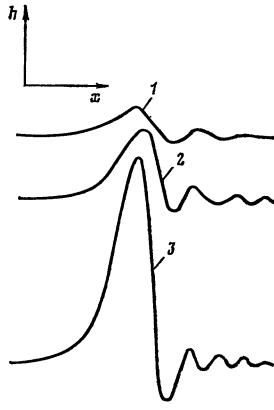
Допустим, что ответвление происходит в малой, но конечной окрестности $s = 1/2$ так, что можно воспользоваться решением (2.1). Будем искать f в виде

$$f = \sum_{k=1}^4 (F_k \sin kx + \Phi_k \cos kx)$$

Подставляя выражение для f в (2.2) и расписывая коэффициенты A, B, D с использованием (2.1), получим систему линейных алгебраических уравнений относительно F_k, Φ_k восьмого порядка с нулевой правой частью. Таким образом, условием ветвления является вырожденность главной матрицы восьмого порядка, которую не выписываем вследствие громоздкости. Далее можно показать, что четные и нечетные F_k, Φ_k входят в уравнение независимо, и для условия ветвления достаточно взять матрицу четвертого порядка, порождаемую нечетными гармониками $\sin x, \cos x, \sin 3x, \cos 3x$.



Фиг. 4



Фиг. 5

После вычисления определителя указанной матрицы и пренебрежения членами порядка выше ε^4 , что эквивалентно сохранению членов порядка ε^2 в (2.1), получаем окончательный вид условия ветвления

$$(2.3) \quad a\varepsilon^4 + b\varepsilon^2 + 1 = 0$$

$$a = 134,94 (23,05 + 27,6\alpha_0^6 + \alpha_0^{12})(1 + 4,14\alpha_0^6)^{-2}$$

$$b = -20,79 (12,74 + \alpha_0^6)(1 + 4,14\alpha_0^6)^{-1}, \quad \alpha_0 = \sqrt{15\delta}$$

Зависимость $\varepsilon^2 = \varepsilon^2(\delta)$ дана ниже

$\delta \cdot 10^2$	0	2	4	6	8	10	12
$\varepsilon_1^2 \cdot 10^3$	4,2	4,7	6,88	17	33	60	99
$\varepsilon_2^2 \cdot 10^2$	7,6	8,6	11	16	20	22	22

Заметим, что введенное вначале рассуждений предположение о малости ε^3 выполняется. При $\delta > \delta_* \approx 0,138$ действительные решения (2.3) отсутствуют, следовательно, при $\delta \in (0, \delta_*)$ от первого семейства отвечаются еще два, а при $\delta > \delta_*$ эти последние семейства сливаются в одно.

Далее ограничимся меньшим корнем.

Семейство, отвечающее при этом, условимся называть вторым семейством. Окрестность точки бифуркации дана на фиг. 1, 2. Из точки $s = 1/2$ выходит первое семейство с удвоенной частотой, от этого семейства отвечаются второе. Зависимость $\Delta c, A = H_+ - H_-$ от s и δ для второго семейства показана на фиг. 1, 2 (справа). Как видно из графиков, по мере отхода от точки бифуркации нормированное волновое число s сначала увеличивается, а затем, пройдя через максимум ($s \in (0,53, 0,58)$ для рассмотренных δ), уменьшается. При $s \rightarrow 0$ второе семейство может, в частности, переходить в положительный солитон. Второе семейство волн наблюдалось в экспериментах [8, 9].

На фиг. 4 показана эволюция формы семейства с удалением от точки ветвления и постепенный переход к положительному солитону при $\delta = 0,04$: 1 — $\Delta c = 1,5 \cdot 10^{-3}$, 2 — 0,363, 3 — 0,711, 4 — 1,059, 5 — 1,41; здесь вследствие неоднозначной зависимости от s берется зависимость от скорости $\Delta c = (c - 3)/\alpha_0^3$. В небольшой окрестности точки бифуркации $c < 3$, в основном же для второго семейства $c > 3$. При $\delta = 0$ (фиг. 1, штриховые линии) и $s > 0,58$ имеется одна ветвь $\Delta c = 0$; при $s < 0,58$ имеются три ветви, выходящие из точки ветвления: $\Delta c = 0, c > 3, c < 3$. (В [10] найдены для этого случая две такие ветви.)

Ветвь $\Delta c = 0$ доходит до точки $s = 0,4979$, что совпадает со значением, полученным численным продолжением семейства от $s = 1$ в [11]. Бифуркация при $\delta = 0$ не является бифуркацией общего положения и имеет место вследствие высокой симметрии уравнения (1.6); при малом шевелении параметра δ бифуркация распадается ([12], рис. 120), и тогда имеем две ветви первого и второго семейства. При увеличении δ асимметрия семейств растет, сильнее всего она проявляется на солитонных решениях (см. фиг. 5, положительные солитоны: 1 — $\delta = 0,02$, 2 — $0,03$, 3 — $0,0392$). Скажем, при $\delta = 0,0392$ амплитуда положительного солитона в пять раз больше амплитуды отрицательного. Зависимость фазовой скорости и амплитуды приведена ниже

δ	0,01	0,02	0,03	0,035	0,0392
c	3,076	3,26	3,65	4,09	4,96
a	0,041	0,136	0,336	0,563	0,976

Исследованию солитонных решений для модельного уравнения посвящены работы [10, 13], нестационарных решений типа уединенных волн — работа [14].

Авторы признательны В. И. Арнольду и А. А. Непомнящему за обсуждения.

ЛИТЕРАТУРА

1. Капица П. Л. Волновое течение тонких слоев вязкой жидкости.— Ж. эксперим. и теор. физики, 1948, т. 18, вып. 1, с. 3—28.
2. Шкадов В. Я. Волновые режимы течения тонкого слоя вязкой жидкости под действием силы тяжести.— Изв. АН СССР, МЖГ, 1967, № 1, с. 43—51.
3. Шкадов В. Я. К теории волновых течений тонкого слоя вязкой жидкости.— Изв. АН СССР, МЖГ, 1968, № 2, с. 20—25.
4. Шкадов В. Я. Уединенные волны в слое вязкой жидкости.— Изв. АН СССР, МЖГ, 1977, № 1, с. 63—66.
5. Беллман Р., Калаба Р. Квазилинеаризация и нелинейные краевые задачи. М.: Мир, 1968. 183 с.
6. Непомнящий А. А. Устойчивость волновых режимов в пленке, стекающей по наклонной плоскости.— Изв. АН СССР, МЖГ, 1974, № 3, с. 28—34.
7. Venneur B. J. Long waves on liquid films.— J. Math. and Phys., 1966, v. 45, No. 2, p. 150—155.
8. Накоряков В. Е., Покусаев Б. Г., Алексеенко С. В. Стационарные двумерные катящиеся волны на вертикальной пленке жидкости.— Инж.-физ. ж., 1976, т. 30, № 5, с. 780—785.
9. Накоряков В. Е., Шрейбер И. Р. Волны на поверхности тонкого слоя вязкой жидкости.— ПМТФ, 1973, № 2, с. 109—113.
10. Цвелоуб О. Ю. Стационарные бегущие волны на пленке, стекающей по наклонной плоскости.— Изв. АН СССР, МЖГ, 1980, № 4, с. 142—146.
11. Непомнящий А. А. Устойчивость волновых движений в слое вязкой жидкости на наклонной плоскости.— В кн.: Нелинейные волновые процессы в двухфазных средах. Новосибирск: Изд-е Ин-та теплофизики СО АН СССР, 1977, с. 181—190.
12. Арнольд В. И. Дополнительные главы теории обыкновенных дифференциальных уравнений. М.: Наука, 1978. 304 с.
13. Цвелоуб О. Ю. Солитоны на стекающей пленке при умеренных расходах жидкости.— ПМТФ, 1980, № 3, с. 64—66.
14. Демехин Е. А., Шкадов В. Я. О нестационарных волнах в слое вязкой жидкости.— Изв. АН СССР, МЖГ, 1981, № 3, с. 151—154.

Москва, Краснодар

Поступила в редакцию
16.VII.1982